

УДК 544.478,665.658.2

## НАНОРАЗМЕРНЫЕ СУЛЬФИДНЫЕ НИКЕЛЬ-ВОЛЬФРАМОВЫЕ КАТАЛИЗАТОРЫ, ПРИГОТОВЛЕННЫЕ В ИОННОЙ ЖИДКОСТИ, ДЛЯ ГИДРИРОВАНИЯ ПОЛИАРОМАТИЧЕСКИХ УГЛЕВОДОРОДОВ

© 2015 г. И. А. Сизова<sup>1</sup>, С. И. Сердюков<sup>1,2</sup>, А. Л. Максимов<sup>1,2</sup>, Н. А. Синикова<sup>2</sup>

<sup>1</sup>Институт нефтехимического синтеза им. А. В. Топчева РАН, Москва

<sup>2</sup>Московский государственный университет имени М. В. Ломоносова, химический факультет;

E-mail: [isizova@ips.ac.ru](mailto:isizova@ips.ac.ru)

Поступила в редакцию 05.06.2014 г.

Получены никель-вольфрамовые сульфидные наноразмерные катализаторы гидрирования ароматических углеводородов путем разложения никель-тиовольфрамовых солей-прекурсоров *in situ* в ионной жидкости (ИЖ). В качестве прекурсора был использован никель-тиовольфраматный комплекс  $[BMPip]_2Ni(WS_4)_2$ , в качестве растворителя для прекурсора – термостабильная ИЖ трифторметан сульфонат 1-бутил-1-метилпиперидиния  $BMPipCF_3SO_3$ . Полученные *in situ* в ИЖ Ni-W-S частицы были охарактеризованы методами рентгеновской фотоэлектронной спектроскопии (РФЭС) и ПЭМ. Показано, что они представляют собой наноразмерные пластинки, шириной 0.5 нм, объединенные в агломераты диаметром 100–150 нм. Каталитическая активность была исследована на примере гидрирования нафталина в различных растворителях в реакторе периодического действия при температуре 350°C и при давлении 5.0 МПа. Показана возможность использования ИЖ для селективного гидрирования ароматических углеводородов (УВ) в смеси с олефинами.

**Ключевые слова:** сульфидные никель-вольфрамовые катализаторы, ионные жидкости, двухфазный катализ, гидрирование ароматических углеводородов.

DOI: 10.7868/S0028242115010128

Истощение запасов легких нефлей и вовлечение в переработку все более тяжелых нефтяных фракций с повышенным содержанием серы и ароматических углеводородов стимулировало повышение интереса к изучению новых катализаторов гидрирования ароматических соединений, устойчивых к действию серы [1]. Благодаря исключительной устойчивости к действиям каталитических ядов, нанесенные сульфиды переходных металлов [2], главным образом сульфиды молибдена и вольфрама, промотированные кобальтом или никелем, широко используются для удаления гетероатомов, таких как сера и азот. Однако данные о применении этих систем для процессов гидрирования ароматических УВ довольно скучны [3].

Основная проблема при выборе состава и способа приготовления катализатора гидрирования ароматических УВ (гидроароматизации) нефтяного сырья на основе Mo и W заключается в необходимости повысить гидрирующую активность каталитических систем Mo(W)Co(Ni) по отношению к ароматическим УВ при сохранении их эффективности в реакциях гидроочистки. Известно, что замена Co на Ni и Mo на W позволяет повысить гидрирующую активность катализаторов.

По гидрирующей активности в присутствии сернистых соединений катализаторы располагаются в следующий ряд: Ni–W > Ni–Mo > Co–Mo [4].

В последние годы существенно возрос интерес к изучению наноразмерных катализаторов, что связано с возможностью повышения их эффективности и избирательности [5]. В связи с этим получил развитие новый подход к синтезу катализаторов – отказ от применения носителей и формирование наноразмерных частиц катализатора непосредственно в углеводородном сырье (*in situ*). В качестве прекурсора для получения наноразмерных сульфидных катализаторов обычно используют тиосоли [6–10]. Разложение тиосолей *in situ* в реакционной среде позволяет обеспечить высокое содержание серы в конечном сульфидном катализаторе, а также способствует получению стабильных высокодисперсных частиц [6, 11].

Известно, что эффективность сульфидных катализаторов зависит от их дисперсности, причем с ростом дисперсности эффективность каталитического действия возрастает. Однако при использовании наноразмерных катализаторов возникает ряд существенных проблем, включая сложность отделения наночастиц от продуктов реакции и

повторное использование катализаторов. Возможное решение указанных проблем – использование двухфазного катализа с применением альтернативных растворителей, таких как вода [12], ИЖ [13], перфторированные УВ [14], сверхкритический диоксид углерода [15].

Основная идея двухфазного катализа заключается в том, что после проведения реакции катализатор остается в одной фазе, а продукты реакции и исходные вещества – в другой. Разделение на две фазы приводит к облегчению процедуры отделения катализатора от продуктов реакции, а также упрощению повторного его использования. В качестве растворителя удобно применять ИЖ, т.к. они являются благоприятной средой для синтеза в них наночастиц [16–19].

Цель данной работы – получение наноразмерных сульфидных никель-вольфрамовых катализаторов *in situ* разложением тиосолей в ИЖ и исследование их активности в реакции гидрирования полиароматических углеводородов.

## ЭКСПЕРИМЕНТАЛЬНАЯ ЧАСТЬ

**Методики синтеза.** Тиовольфрамат аммония  $(NH_4)_2WS_4$  был приготовлен по методике, описанной в [20]. 0,03 моль вольфрамата натрия  $Na_2WO_4 \cdot 2H_2O$  растворяли в 40 мл  $H_2O$ , добавляли 15 мл соляной кислоты и перемешивали в течение 10 мин до выпадения желтого осадка вольфрамовой кислоты  $H_2WO_4$ . Смесь центрифугировали в течение 5 мин со скоростью 3000 об/мин и затем дважды промывали водой. Полученную кислоту  $H_2WO_4$  помещали в печь и упаривали на 1/3 массы при  $95^{\circ}C$ . К  $H_2WO_4$  добавляли 60 мл концентрированного водного раствора аммиака. Через полученный раствор пропускали сероводород в течение 30 мин при  $60^{\circ}C$ , после чего образовавшийся зеленый осадок отфильтровали. Через полученный ярко-желтый раствор продолжали пропускать сероводород при  $60^{\circ}C$  в течение 8 ч. Затем смесь охлаждали, полученный оранжевый осадок  $(NH_4)_2WS_4$  отфильтровывали, промывали изопропанолом и диэтиловым эфиром.

Элементный анализ (%): получено: C 0, H 2.3, N 8.4, S 38.0, W 51.3; рассчитано: C 0, H 2.3, N 8.0, S 36.8, W 52.8.

**Никель-тиовольфраматный комплекс 1-бутил-1-метилпиперидиния  $[BMPip]_2Ni(WS_4)_2$**  был приготовлен по оригинальной методике [21]. Раствор хлорида никеля, содержащий 0.238 г  $NiCl_2 \cdot 6H_2O$  и 10 мл смеси  $H_2O - CH_3CN$  (объемное соотношение  $H_2O : CH_3CN = 1 : 1$ ), подкисленный несколькими каплями уксусной кислоты, был добавлен к раствору, содержащему 0.7 г тиовольфрамата аммония  $(NH_4)_2WS_4$  и 10 мл смеси  $H_2O - CH_3CN$  (объемное соотношение  $H_2O : CH_3CN = 1 : 3$ ). К

полученной смеси был добавлен раствор, содержащий 2.1 г  $[BMPip]Br$  и 15 мл  $CH_3CN$ . Образовавшийся коричневый осадок  $[BMPip]_2Ni(WS_4)_2$  отфильтровывали, промывали водой, изопропанолом и затем сушили на воздухе. Элементный анализ (%): получено: C 24.35, H 4.3, N 3.2, S 27.1, Ni 5.69, W 35.36; рассчитано: C 24.13, H 4.45, N 2.81, S 25.76, Ni 5.89, W 36.93.

**ИЖ трифторметансульфонат 1-бутил-1-метилпиперидиния  $[BMPip]CF_3SO_3$**  была приготовлена по стандартному методу [22]. На первой стадии из 1-метилпиперидина  $C_6H_{13}N$  и 1-бромбутана  $C_4H_9Br$  в метилэтилкетоне получали 1-бутил-1-метилпиперидиния бромид  $[BMPip]Br$ . Полученный продукт очищали перекристаллизацией. Чистоту и структуру продукта подтверждали  $^1H$ -ЯМР-спектроскопией.  $^1H$ -ЯМР ( $CDCl_3$ ), δ, м. д.: 0.8 (т., 3H,  $CH_2CH_3$ ); 1.2 (м., 2H,  $CH_2CH_3$ ); 1.6 (м., 8H,  $CH_2CH_2CH_2CH_2NCH_2CH_2$ ); 3.1 (с., 3H,  $NCH_3$ ); 3.5 (м., 6H,  $N(CH_2)_3$ ).

На второй стадии в  $[BMPip]Br$  заменяли анион на трифлат-анион  $CF_3SO_3^-$ . К раствору 1-бутил-1-метилпиперидиния бромида (16,9 г  $[BMPip]Br$  в 50 мл воды) добавляли 13,5 г соли трифторметансульфонат калия  $KCF_3SO_3$  и перемешивали при температуре  $80^{\circ}C$  в течение часа. После этого реакционную смесь охлаждали до комнатной температуры, добавляли 25 мл дистиллированной воды и экстрагировали полученную смесь дихлорметаном (3 × 25 мл). Отделенную органическую fazу промывали свежей дистиллированной водой (2 × 20 мл) и сушили  $MgSO_4$ . Полученную ИЖ  $[BMPip]CF_3SO_3$  сушили под вакуумом при температуре  $90^{\circ}C$ . Чистоту и структуру продукта подтверждали  $^1H$ -ЯМР-спектроскопией.  $^1H$ -ЯМР ( $CDCl_3$ ), δ, м. д.: 0.89 (т., 3H,  $CH_2CH_3$ ); 1.3 (м., 2H,  $CH_2CH_3$ ); 1.8 (м., 8H,  $CH_2CH_2CH_2CH_2NCH_2CH_2$ ); 2.9 (с., 3H,  $NCH_3$ ); 3.3 (м., 6H,  $N(CH_2)_3$ ).

**Методы исследования полученных катализаторов.** Анализ на углерод, водород, азот и серу был выполнен на приборе CHNS–OEA1108 Elemental Analyzer фирмы CarboErba. Определение содержания металлов осуществлялось методом атомно-абсорбционной спектроскопии на приборе “AAnalyst 400”.

Полученные *in situ* образцы катализаторов исследовали на просвечивающем электронном микроскопе Карл Цейс “LEO912 ABOMEGA”. Исследования полученных образцов методом РФЭС проводили при помощи электронного прибора LAS-3000, оснащенного фотоэлектронным анализатором с задерживающим потенциалом ОРХ-150. Для возбуждения фотоэлектронов использовано рентгеновское излучение алюминиевого анода (AlK-альфа = 1486.6 эВ) при напряжении на трубке 12 кВ и токе эмиссии 20 мА.

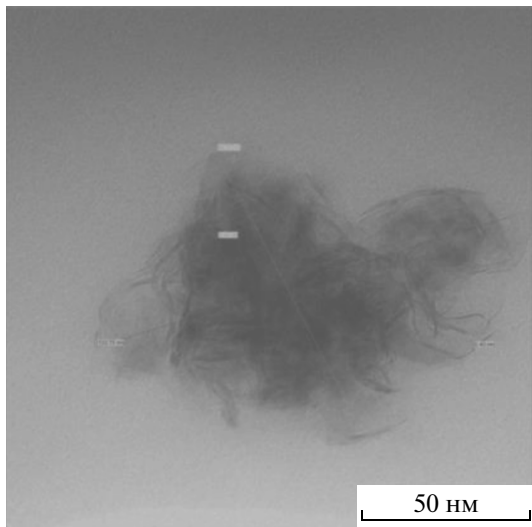


Рис. 1. Микрофотография Ni-W-S-катализатора, полученного *in situ* разложением в ионной жидкости.

Калибровку фотоэлектронных пиков проводили по линии углерода C 1s с энергией связи 285 эВ.

**Методика проведения катализитических экспериментов.** Катализитические эксперименты по гидрированию проводили в стальном автоклаве в атмосфере водорода при повышенном давлении и интенсивном перемешивании реакционной смеси. В стеклянный картридж автоклава помещали прекурсор  $[BMPip]_2Ni(WS_4)_2$ , растворенный в 1 мл ИЖ  $[BMPip]CF_3SO_3$ , и затем добавляли 1 мл субстрата. Автоклав наполняли водородом до давления 50 атм и выдерживали при температуре 350°C в течение 1–10 ч. Анализ продуктов гидрирования проводили на хроматографе Кристаллюкс 4000 М, снабженном ПИД и капиллярной колонкой SPB®-1 с неподвижной жидкой фазой полидиметилсилоксан (размеры: 30 м × 0.25 мм, газ-носитель гелий, деление потока 1 : 90).

## РЕЗУЛЬТАТЫ И ИХ ОБСУЖДЕНИЕ

**Характеристика полученных *in situ* в ионной жидкости Ni-W-S катализаторов.** Все полученные никель-вольфрамовые катализаторы представляли собой нанопластинки, объединенные в агломераты, что было показано методом просвечивающей электронной микроскопии. Типичная микрофотография полученных катализаторов приведена на рис. 1. Ширина пластинок составляет  $\sim 5 \text{ \AA}$ , длина каждой пластинки — порядка 100–150 нм. Пластинки объединены в агломераты также размером от 100 до 150 нм.

Анализ полученных образцов методом РФЭС показал, что все катализаторы содержат пики, характерные для вольфрама, серы, углерода и никеля.

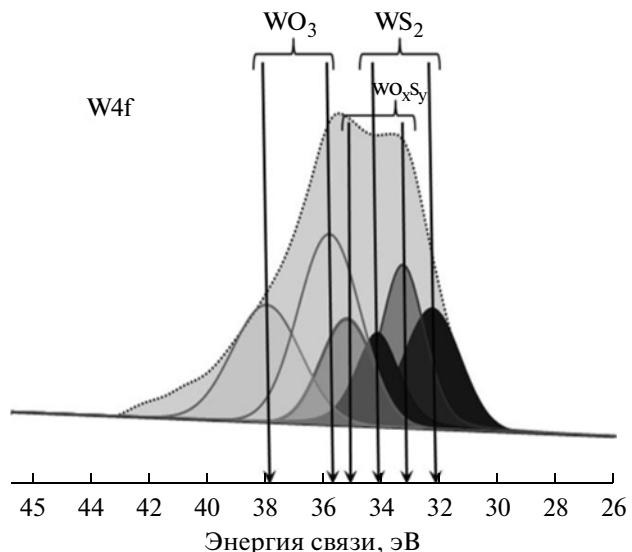


Рис. 2. Деконволюция W4f уровня.

На рис. 2 представлена деконволюция W4f уровня. Вольфрам в изучаемых образцах находится в трех формах: сульфидной ( $W4f_{7/2}$  32.5 эВ;  $W4f_{5/2}$  34.2 эВ), окиссульфидной, ( $W4f_{7/2}$  33.4 эВ;  $W4f_{5/2}$  35.2 эВ) и оксидной ( $W4f_{7/2}$  35.8 эВ;  $W4f_{5/2}$  37.8 эВ). Указанные значения энергии связи согласуются с литературными данными [23]. Массовое соотношение полученных фаз приведено в табл. 1. Из полученных результатов видно, что только 26.4% W находится в сульфидной форме, оставшиеся 73.6% находятся в окиссульфидной и оксидной формах, с преимуществом последней.

На рис. 3 представлена деконволюция Ni2p уровня. Никель в изучаемых образцах находится в виде сульфида NiS ( $Ni2p_{3/2}$  852.6 эВ;  $Ni2p_{1/2}$  869.8 эВ), в

Таблица 1. Данные РФЭС для W4f уровня и Ni2p уровня

Элемент	Энергия связи, эВ		Массовая доля, %	Состояние
W4f	$4f_{7/2}$	32.5	26.4	$WS_2$
	$4f_{5/2}$	34.2		
	$4f_{7/2}$	33.4	30.1	$WO_xS_y$
	$4f_{5/2}$	35.2		
	$4f_{7/2}$	35.8	43.5	$WO_3$
	$4f_{5/2}$	37.8		
Ni2p	$2p_{3/2}$	852.6	7.6	NiS
	$2p_{1/2}$	869.8		
	$2p_{3/2}$	853.8	20.5	NiWS
	$2p_{1/2}$	870.6		
	$2p_{3/2}$	856.2	71.9	NiO
	$2p_{1/2}$	873.7		

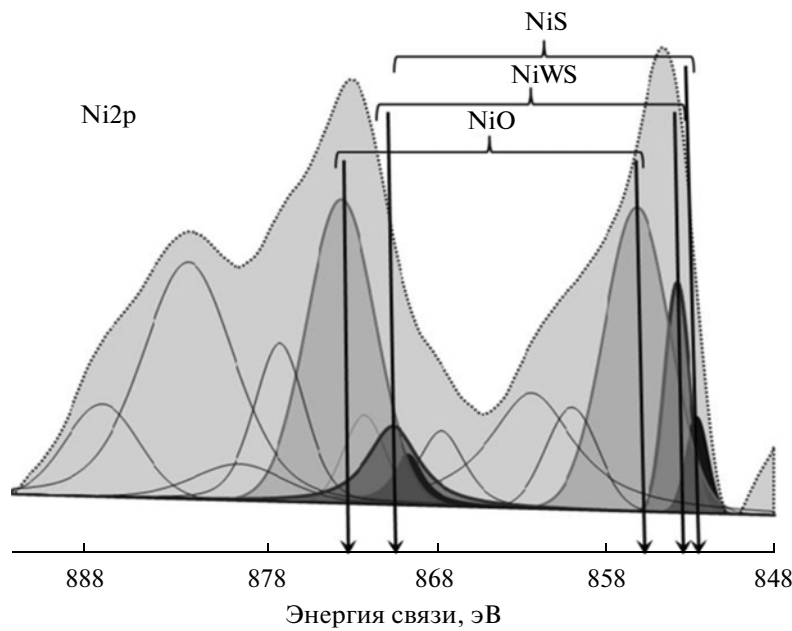


Рис. 3. Деконволюция Ni2p уровня.

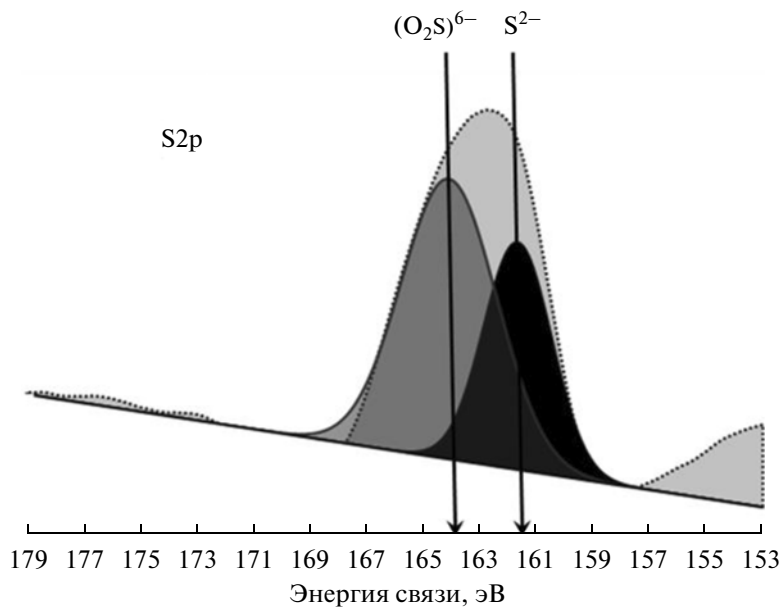


Рис. 4. Деконволюция S2p уровня.

виде NiWS ( $\text{Ni2p}_{3/2}$  853.8 эВ;  $\text{Ni2p}_{1/2}$  870.6 эВ) и в виде оксида NiO ( $\text{Ni2p}_{3/2}$  856.2 эВ;  $\text{Ni2p}_{1/2}$  873.7 эВ). Указанные значения энергии связи согласуются с литературными данными [23]. Пики, не выделенные цветом, соответствуют сателлитам. Массовое соотношение полученных фаз для никеля приведено в табл. 1. Обнаружено, что более 70% никеля находится в оксидной форме.

Деконволюция S2p уровня (рис. 4) показала, что сера находится в двух состояниях:  $\text{S}^{2-}$  (161.4 эВ) и в

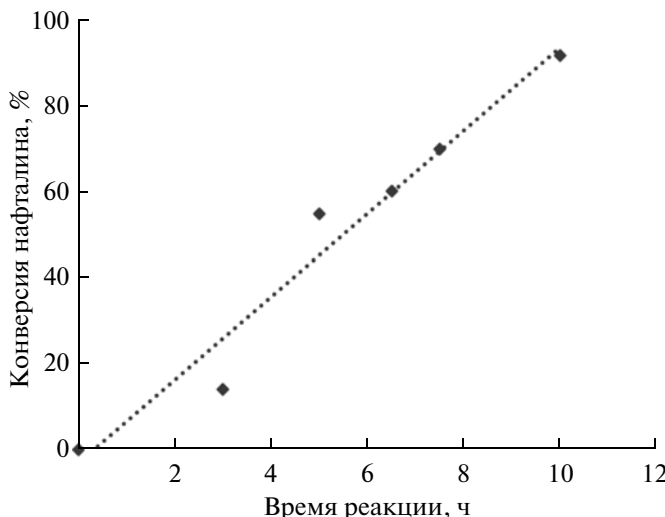
виде оксисульфида (163.9 эВ). Массовые отношения полученных фаз для серы приведены в табл. 2. Следует отметить, что полученные данные свидетельствуют об отсутствии серы в степени окисления +6, что должно соответствовать пику с энергией связи 169 эВ [24].

Данные типичного состава поверхности образцов свидетельствуют об избытке карбидной фазы, атомная концентрация углерода на поверхности образца составляет 69.2%, и о недостатке никеля,

атомная концентрация никеля на поверхности составляет всего 2.2%, тогда как вольфрама – 8.6%. Полученные данные согласуются с литературными [20]. Атомная концентрация серы на поверхности полученных катализаторов составляет порядка 20%.

**Каталитические свойства.** Каталитические свойства полученного катализатора исследовали в реакторе периодического действия при температуре 350°C и давлении водорода 5.0 МПа. В качестве модельного сырья использовали 10%-ный раствор нафталина в *n*-гексадекане. Мольное отношение вольфрама к никелю в прекурсоре составляло 2 : 1. В табл. 3 представлена зависимость конверсии нафталина от отношения W : Ni; в качестве дополнительного источника никеля использовали нитрат никеля  $\text{Ni}(\text{NO}_3)_2 \cdot 6\text{H}_2\text{O}$ ; видно, что нитрат никеля без соли прекурсора и соль прекурсора в отсутствие нитрата никеля обладают невысокой каталитической активностью (конверсия нафталина составляет 3–9%). Оптимальное отношение W : Ni составляет 1 : 1, конверсия нафталина в этом случае достигает 92%. Главный продукт гидрирования – тетралин; селективность по декалинам не превышает 4%.

На рис. 5 представлена зависимость конверсии нафталина от времени реакции для катализатора, обладающего оптимальной каталитической активностью (отношение вольфрама к никелю 1 : 1). С увеличением времени реакции от 3 до 10 ч конверсия нафталина возрастает от 14% до 92%. В том случае, когда время реакции составляет 3 ч, селективность по декалинам не превышает 30%. При большем времени реакции главным продук-



**Рис. 5.** Зависимость конверсии нафталина от времени реакции. Условия эксперимента:  $T = 350^\circ\text{C}$ ,  $P_{\text{H}_2} = 5.0 \text{ МПа}$ , нафталин : W = 7.3 моль/моль, W : Ni = 1 : 1.

**Таблица 2.** Данные РФЭС для S2p уровня

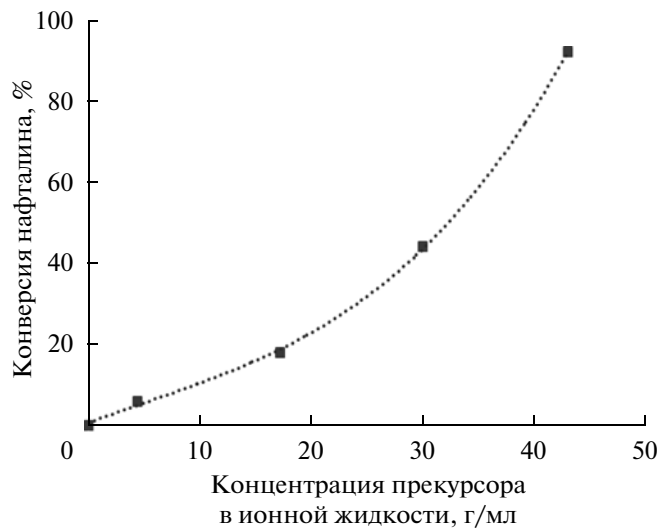
	Энергия связи, эВ	Массовая доля, %	Состояние
S2p	161.4	36.6	сульфид $\text{S}^{2-}$
	163.9	63.4	оксисульфид $(\text{O}_2\text{S})^{6-}$

**Таблица 3.** Зависимость конверсии нафталина от мольного соотношения W : Ni ( $T = 350^\circ\text{C}$ ,  $P_{\text{H}_2} = 5.0 \text{ МПа}$ ,  $t = 10 \text{ ч}$ , нафталин : W = 7.3 моль/моль)

Прекурсор	W : Ni	Конверсия нафталина, %
$\text{Ni}(\text{NO}_3)_2$	–	3
$[\text{BMPip}]_2\text{Ni}(\text{WS}_4)_2$	2 : 1	9
$[\text{BMPip}]_2\text{Ni}(\text{WS}_4)_2 + \text{Ni}(\text{NO}_3)_2$	1 : 1	92
$[\text{BMPip}]_2\text{Ni}(\text{WS}_4)_2 + \text{Ni}(\text{NO}_3)_2$	2 : 1	4

том являлся тетралин, декалины практически не образуются.

На рис. 6 представлена зависимость конверсии нафталина от концентрации прекурсора в ИЖ при мольном отношении вольфрама к никелю 1 : 1 и времени реакции 10 ч. Как видно, с уменьшением отношения нафталина к вольфраму с 73 : 1 до 7.3 : 1, что соответствует изменению концентрации прекурсора в ИЖ с 4.3 г/мл до 43 г/мл, конверсия нафталина возрастает с 6.0% до 92%. Главный продукт реакции – тетралин; однако с уменьшением концентрации прекурсора в ИЖ селектив-



**Рис. 6.** Зависимость конверсии нафталина от концентрации прекурсора в ИЖ. Условия эксперимента:  $T = 350^\circ\text{C}$ ,  $P_{\text{H}_2} = 5.0 \text{ МПа}$ ,  $t = 10 \text{ ч}$ , W : Ni = 1 : 1.

**Таблица 4.** Коэффициенты распределения субстратов между *n*-гексадеканом и ИЖ [BMPip]CF<sub>3</sub>SO<sub>3</sub>

Субстрат	Коэффициент распределения ( $C_{\text{орг.ф.}}/C_{\text{иж}}$ )	Конверсия, %
Нафталин	1.75	92
Октен-1	27.5	3
Тетралин	6.2	5
Толуол	6.4	0
Этилбензол	9.6	0
1-Метилнафталин	1.35	80
2-Метилнафталин	1.82	40

ность по декалинам растет и при отношении нафталина к вольфраму 73 : 1 достигает 20%.

Полученные каталитические системы могут быть использованы повторно без потери активности. Так, при использовании каталитической системы с мольным отношением нафталина к вольфраму 7.3 : 1 и атомном отношении W : Ni = 1 : 1, конверсия нафталина не снижается на протяжении четырех каталитических циклов.

Исследование превращений октена-1 на Ni-W-S-катализаторе, приготовленном в ИЖ, показало его высокую каталитическую активность. Степень конверсии октена-1 составляла 95%, однако содержание *n*-октана не превышало 3%. В основном, происходила миграция двойной связи, причем среди изомеров октена-1 содержание октена-4 составляло ~60%.

Далее была проведена серия экспериментов по гидрированию смеси ароматических УВ с олефинами на примере 10%-ного раствора нафталина в октене-1. Конверсия нафталина составляла 77% (отношение нафталина к вольфраму 6.7 : 1), тогда как конверсия октена-1 в *n*-октан не превышала 5%. При проведении аналогичного эксперимента без использования ИЖ, т.е. при получении Ni-W-S-катализатора разложением *in situ* в углеводородном сырье, конверсия октена-1 в *n*-октан и нафталина в тетралин составляла 100%. Интересно отметить, что продуктом гидрирования нафталина в этом случае являлся не только тетралин, но и декалины, содержание которых в продуктах реакции ~50%.

Высокая конверсия нафталина по сравнению с октеном-1, по-видимому, связана с различной растворимостью используемых субстратов в ИЖ. В табл. 4 представлены коэффициенты распределения используемых субстратов между [BMPip]CF<sub>3</sub>SO<sub>3</sub> и *n*-гексадеканом. Как видно из табл. 4, растворимость нафталина в ИЖ значительно выше, чем октена-1. Важно отметить, что тетралин также плохо растворяется в ИЖ. Именно этим можно объяснить то, что главным продуктом реакций гидрирования нафталина является тетралин, который переходит из ИЖ в *n*-гексаде-

кан, и дальнейшее его гидрирование до декалина не происходит.

Для того, чтобы подтвердить полученный результат, была проведена серия экспериментов по гидрированию толуола и этилбензола, растворимость которых в ИЖ низка (табл. 4). Конверсия как толуола, так и этилбензола при соотношении субстрат : W = 7.3 : 1 и W : Ni = 1 : 1 не превышала 5%. При проведении аналогичного эксперимента при разложении прекурсора *in situ* в углеводородном сырье без использования ИЖ конверсия толуола и этилбензола составляла 50% и 30% соответственно (отношение субстрат : W = 105.3 : 1).

Кроме этого был проведен аналогичный эксперимент по гидрированию 1- и 2-метилнафталинов, растворимость которых в ИЖ выше, чем алкилбензолов (табл. 4). Конверсия 1-метилнафталина при соотношении 1-метилнафталин : W = 7.3 : 1 и W : Ni = 1 : 1 составляла 80%. Основной продукт реакции — 5-метилтетралин, селективность по этому продукту составляет 70%. Содержание метилдекалинов в продуктах реакции не превышало ~3%. 2-Метилнафталин хуже растворяется в ИЖ, и при аналогичных условиях проведения реакции его конверсия составляла 40%. Главный продукт гидрирования — 6-метилтетралин, селективность по которому составляла 70%. Содержание метилдекалинов в продуктах гидрирования не превышало 2%. Полученные результаты по гидрированию метилнафталинов согласуются с данными по их растворимости в ИЖ. Более высокая растворимость 1-метилнафталина приводит к его большей степени гидрирования.

Полученные результаты свидетельствуют о том, что определяющей стадией гидрирования является растворимость субстратов в ИЖ. Степень превращения субстратов, растворимость которых невысока, не превышала 10%. Конверсия хорошо растворимых в ИЖ субстратов достигала 90%. Таким образом, использование Ni-W-S-катализаторов, приготовленных в ИЖ, позволяет селективно гидрировать полиароматические УВ.

В данной работе впервые получен никельтиовольфрамат 1-бутил-1-метилпиперидиния [BMPip]<sub>2</sub>Ni(WS<sub>4</sub>)<sub>2</sub>. Разложением данного комплекса *in situ* в ИЖ приготовлены наноразмерные сульфидные никель-вольфрамовые катализаторы для гидрирования полiarоматических углеводородов. Методом просвечивающей электронной микроскопии показано, что частицы катализатора представляют собой наноразмерные пластинки, шириной 0.5 нм, объединенные в агломераты размером 100–150 нм.

Исследованы свойства полученных катализаторов в реакциях гидрирования ароматических углеводородов и октена-1. Показано, что никель-вольфрамовые катализаторы, приготовленные в ИЖ, можно использовать для селективного гид-

рирования полиароматических УВ в смеси с олефинами. Активность исследованных катализаторов зависит от растворимости использованных субстратов в ИЖ.

Работа выполнена в рамках Федеральной целевой программы “Исследования и разработки по приоритетным направлениям развития научно-технологического комплекса России на 2007–2013 гг.” (госконтракт № 14.516.11.0093) и Темы № 8 «Нанотехнологии и наноматериалы в процессах глубокой комплексной переработки углеводородного сырья» (Гос. рег. № 01201352582). В работе использовано оборудование Центра коллективного пользования “Новые нефтехимические процессы, полимерные композиты и адгезивы”.

#### СПИСОК ЛИТЕРАТУРЫ

1. Старцев А.Н., Сульфидные катализаторы гидроочистки: синтез, структура, свойства. Н.: Гео. 2007. 206с.
2. Chianelli R.R., Daage M. // Adv. Catal. 1994. V. 40. P. 177.
3. Nava H., Pedraza F., Alonso G. // Catal. Lett. 2005. V. 99. № 1–2. P. 65.
4. Навалихина М.Д., Крылов О.В. // Успехи химии. 1998. Т. 67. № 7. С. 656.
5. Heiz U., Landman U., Nanocatalysis. 2nd Ed. Springer. 2007. P. 503.
6. Zdražil M. // Catal. Today. 1988. V. 3. № 4. P. 269.
7. Alonso G., Del Valle M., Cruz J., Licea-Claverie A., Petranovskii V., Fuentes S. // Catal. Lett. 1998. V. 52. № 1–2. P. 55.
8. Pedraza F., Fuentes S. // Catal. Lett. 2000. V. 65. № 1–3. P. 107.
9. Alonso G., Del Valle M., Cruz J., Licea-Claverie A., Petranovskii V., Fuentes S. // Catal. Today. 1998. V. 43. № 1–2. P. 117.
10. Alonso G., Petranovskii V., Del Valle M., Cruz-Reyes J., Licea-Claverie A., Fuentes S. // Appl. Catal. A: Gen. 2000. V. 197. № 1. P. 87.
11. Wilkinson K., Merchan M.D., Vasudevan P.T. // J. Catal. 1997. V. 171. № 1. P. 325.
12. Cornils B., Herrmann W.A. Applied Homogeneous Catalysis with Organometallic Compounds. VCH, Weinheim. 2002. P. 1494.
13. Scholten J.D., Leal B.C., Dupont J. // ACS Catal. 2012. V. 2. № 1. P. 184.
14. Voggu R., Shireen A., Rao C.N.R. // Dalton Trans. 2010. V. 39. P. 6021.
15. Dessel S.L., Hintermaier U., Gong Zh. // Topics in Catalysis. 2010. V. 53. P. 963.
16. Taubert A., Li Z. // Dalton Trans. 2007. P. 723.
17. Ding K.L., Miao Z.J., Liu Z.J., Zhang Z.F., Han B.X., An G.M., Miao S.D., Xie Y. // J. Am. Chem. Soc. 2007. V. 129. № 20. P. 6362.
18. Kowsari E. Ionic Liquids: Theory, Properties, New Approaches. InTech. 2011.
19. Lau V.W., Masters A. F., Bond A.M., Maschmeyer T. // Chem. Cat. Chem. 2011. V. 3. № 11. P. 1739.
20. McDonald W., Friesen G.D., Rosenhein L.D., Newton W.E. // Inorg. Chim. Acta. 1983. V. 72. P. 205.
21. Crossland C.J., Evans I.R., Evans J.S.O. // Dalton Trans. 2008. P. 1597.
22. Yim T., Lee H. Y., Kim H.-J., Mun J., Kim S., Oh S.M., Kim Y.G. // Bull. Korean Chem. Soc. 2007. V. 28. № 9. P. 1567.
23. Tayeb K., Lamonier C., Lancelot C., Fournier M., Payen E., Bonduelle A., Bertonici F. // Catal. Today. 2010. V. 150. № 3–4. P. 207.
24. Zue D., Vrinat M., Nie H., Mauge F., Shi Y., Lacroix M., Li D. // Catal. Today. 2004. V. 93–95. P. 751.